

# 鸟苷酸结合蛋白信号转导的分子机制

周 宝 宏

(同济医科大学病理生理学教研室,武汉)

## 提 要

鸟苷酸结合蛋白,具有信号转导作用,它涉及到第二信使的控制、细胞生长的调节、离子通道的开关、嗅、视觉和其它信号转导系统等多种功能。本文简述G蛋白的类型及其信号转导的分子机制。

鸟苷酸结合蛋白(G蛋白),亦称为鸟苷酸调节蛋白(N蛋白),其基本作用是将受体和效应分子偶联起来。受体及起到类似功能的分子被称为信号检测元件(signal detector element),效应分子被称为效应元件(effect element)。G蛋白大致有以下几种,其基本特征如表1所示。

1. 腺苷环化酶系统  $G_s$ 、 $G_i$  (分为  $G'_i$  和  $G''_i$ )，2. 磷酸肌醇系统:  $G_p$ 、 $G_r$ (?)，3. 视觉系统:  $G_t$ ，4. 胰岛素系统:  $G_{ins}$ ，5. 细胞分泌系统:  $G_c$ ，6. 离子通道系统:  $G_k$ 、 $G_o$ 、 $G_{ca}$ ，7. 其它系统: ras 蛋白家族、管蛋白(tubulin)、EF-Tu、 $G_t$ 、 $G_h$ 。

## 一、G蛋白信号转导的分子机制

### (一) G蛋白信号转导机制的一般模型

如图1所示<sup>[1]</sup>,1到2步: G蛋白  $\alpha\beta\gamma$  三聚体与受体反应,提高受体对激动剂的亲和力(R为低亲和力状态,  $R^*$ 为高亲和力状态)。2到3步: 激动剂与  $R^*$  结合,诱导  $\alpha$  亚基构象变

化,促进 GDP 与 GTP 的交换,此步需  $Mg^{2+}$ 。3到4步: GTP 结合导致 G 蛋白激活,  $\beta\gamma$  与  $\alpha$  亚基分开,  $\alpha$  亚基与膜上效应元件的胞浆部分结合,  $\alpha$  亚基在胞液中亦有效应元件,由于  $\beta\gamma$  亦可作用于相应的效应元件,因而提出双效应元件模型。此时  $R^*$  又回到 R 状态。4到1步:  $\alpha^*$  有 GTP 酶活性,水解 GTP,则 G 蛋白失活,

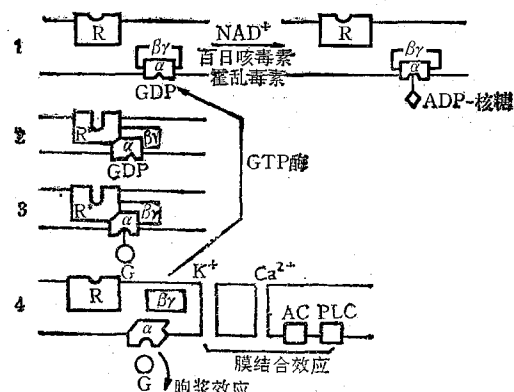


图1 G蛋白作用机理的一般模型

AC—腺苷环化酶; R—受体;

PLC—磷脂酶C

- 917, 9.  
[8] Mitchel, Y. B. et al.: *Biochim. Biophys. Acta*, 1987, 917, 324.  
[9] Oswald, B. and Quarfordt, S.: *J. Lipid Res.*, 1987, 28, 798.  
[10] Windler, E. et al.: *J. Lipid Res.*, 1985, 26, 556.  
[11] Gustafson, S. et al.: *Biochim. Biophys. Acta*, 1985, 834, 308.  
[12] Fidge, N. H. et al.: *FEBS Lett.*, 1986, 199, 265.  
[13] Graham, J. L. and Oram, J. E.: *Arteriosclerosis*, 1986, 6, 537a.  
[14] Havel, R. J.: *Ann. Rev. Physiol.*, 1986, 48, 119.  
[15] Oram, J. F. et al.: *J. Biol. Chem.*, 1987, 262, 2465.  
[16] 梅美珍:《衡阳医学院学报》,1987年增刊,15(4),29。  
[17] Brinton, E. A. et al.: *Arteriosclerosis*, 1985, 5, 324.  
[18] Bachorik, P. S. et al.: *Arteriosclerosis*, 1985, 5, 142.

[本文于1988年4月25日收到]

表 1 几种 G 蛋白的基本特征

G 蛋白	Mr. (kD)	细菌毒素	主要功能
$G_i \{ G_{i1} \\ G_{i2} \}$	$\alpha_{i1}: 46$ $\alpha_{i2}: 44.5$	霍乱毒素(激活 $G_i$ ) 同上(同上)	激活 AC
$G_i' \{ G_{i''} \}$ (即 $G_{p'}$ )	$\alpha_{i'}: 40.5$ 参见下面	百日咳毒素(抑制 $G_i'$ )	抑制 AC
$G_o$	$\alpha: 39$	百日咳毒素(抑制 $G_o$ )	抑制 $\text{Ca}^{2+}$ 流
$G_t \{ G_{t1} \\ G_{t2} \}$	$\alpha_{t1}: 40$ $\alpha_{t2}: 40.5$	百日咳毒素和霍乱毒素 同上	激活 cGMP. PDE, 在 ROS 上 同上, 在视锥上
$G_p \{ G_p \\ G_{p'} \}$ (即 $G_{i''}$ )	— —	对毒素不敏感 百日咳毒素(抑制 $G_p'$ )	介导肌醇磷酸的代谢 同上
$G_t?$			
$G_c$	—	—	—
$G_k$	$\alpha_k: 40$	—	刺激 $K^+$ 通道的开放
$G_{ca}$	—	—	介导内浆网的 $\text{Ca}^{2+}$ 释放
$G_e$	—	对百日咳毒素不敏感	介导细胞颗粒的分泌
$G_{ins}$	$\alpha_{ins}: 25$	霍乱毒素(激活 $G_{ins}$ ) 百日咳毒素(抑制胰岛素 对 AC 的抑制)	抑制 AC
$G_{\beta\gamma}$	$\beta: 37$ (有报导 $\beta$ 以 36kD 35kD 两形式出现) $\gamma: 8$	对毒素不敏感 同上	①与受体反应有关 ②在 AC 系统中, 竞争结合 $G_i$ 的 $\alpha$ 亚基 ③介导 $K^+$ 流 ④ $G_s, G_i, G_o, \beta\gamma$ 亚基相似, $G_i$ 的 $\beta\gamma$ 与其它 $\beta\gamma$ 不同
ras 蛋白家族	~21	—	细胞转化和正常调节
EF-Tu	—	—	蛋白合成
管蛋白	—	—	—

注: ? 表示作用不肯定 — 表示目前属空白研究 AC 腺苷环化酶 ROS 视杆细胞外段

表 2 G 蛋白与 AC 的催化亚基 (C) 的结合形式及其活性

复合物	活性
1. $\beta\gamma\alpha_i\text{Ca}_i\beta\gamma$	无活性
2. $\alpha_i\text{Ca}_i\beta\gamma$ GTP	有
3. $\beta\gamma\alpha_i\text{Ca}_i$ GTP	无
4. $\alpha_i \text{ C } \alpha_i$ GTP GTP	无(?)
5. $\text{C } \alpha_i \beta\gamma$	有 (cyc <sup>-</sup> 细胞即无 $G_i$ 的瘤细胞株)
6. $\text{C } \alpha_i$ GTP	无 (cyc <sup>-</sup> 细胞)

此步需  $\text{Mg}^{2+}$ 。 $G_i$  激活时, 其 2 到 3 步需  $\text{Na}^+$  和  $\text{Mg}^{2+}$ , 而  $G_s, G_o$  激活时, 此步只需  $\text{Mg}^{2+}$ 。细菌毒素可使 G 蛋白 ADP-糖基化, 其机理为: 细菌毒素催化 NAD (烟酰胺酰胺嘌呤二核苷酸) 上的 ADP-核糖部分转移到 G 蛋白上的 GTP 结合位点的半胱氨酸残基上, 毒素具有酶样作用, 仅一个毒素分子便可使任何一个细胞上毒素靶分子进行 ADP 糖基化作用。ADP 糖基化激活了  $G_i$ , 而抑制  $G_i$  的功能。体内同时存在有内源性 ADP-糖基化作用, 是由  $G_i$  介导的, 此效应需要腺苷存在。G 蛋白与腺苷环化酶 (AC) 的催化亚基 (C) 结合, 其结合方式如表 2 所示。

## (二) G蛋白亚基分离机制模型

### 1. 分离模型

如图2所示，此模型主要基于  $G_s$ 、 $G_i$ 、 $G_t$  等在 GTP 类似物作用下，形成的  $\alpha$  亚基-GTP 复合物足以激活效应酶分子的试验结果，这一模型是由 Katada 提出的，其主要内容如下：①AC 的激活：激动剂 ( $H_s$ ) 与刺激性受体 ( $R_s$ ) 结合催化  $G_s$  的 GDP-GTP 交换， $G_s$

分离为  $\alpha_s^{GTP}$  和  $\beta\gamma$ ， $\alpha_s^{GTP}$  激活 AC 的催化亚基 (C)，使 C 发挥功能。然后 GTP 水解， $\alpha_s^{GDP}$  与 C 分开，重新形成 GDP 结合的三聚体  $\alpha_s^{GDP}\beta\gamma$ ， $\beta\gamma$  与 C 竞争结合  $\alpha_s$ 。② AC 的抑制：激动剂 ( $H_i$ ) 与抑制性受体 ( $R_i$ ) 结合， $G_i$  的 GDP 与 GTP 交换， $G_i$  分离为  $\alpha_i^{GTP}$  和  $\beta\gamma$ ，导致  $\beta\gamma$  升高，因此 AC 被抑制。

这一模型的特点是：① 5 种成分 ( $R_s$ 、 $R_i$ 、

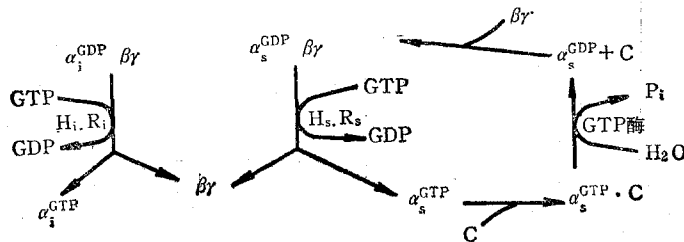


图 2 G 蛋白亚基分离模型

H: 激动剂; R: 受体; S: 刺激性; i: 抑制性

$G_s$ 、 $G_i$  和 C 是相互独立的，在物理结构上并不结合在一起，②酶 C 是自然形式，活化形式为  $\alpha_s^{GTP} \cdot C$ ；③ 提出了  $\beta\gamma$  亚基的一种功能；④  $G_i$  不必形成  $G_i-C$ ，就能抑制 AC。

### 2. 分离修饰模型

一些试验结果并不符合上一模型。生化研究表明，要分开  $G_s$  与 C，必需高浓度盐和非离

子去污剂。进一步研究火鸡红细胞的 AC，发现  $\alpha_s$ ，甚至  $G_i$  附着于 C 形成一个非常稳定的复合物，且在光激活视紫红质的整个周期中  $G_i$  与磷酸二酯酶 (PDE) 结合在一起。因而提出分离修饰模型 (图 3)<sup>[2]</sup>，此模型认为：G 蛋白的  $\alpha$  亚基附在催化亚基 (C) 上，酶活性形式是  $\alpha_s^{GTP} \cdot C$ ，失活形式为  $\alpha_s^{GDP} \cdot C$ ，同样  $\beta\gamma$  亚基水平决

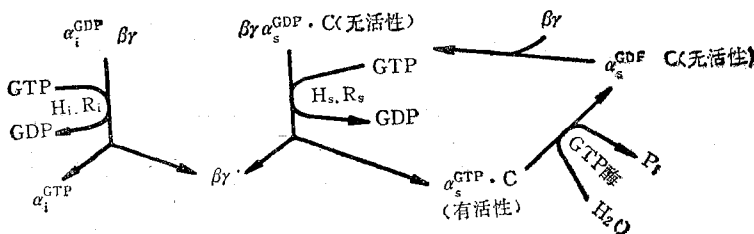


图 3 G 蛋白亚基分离修饰模型

H: 激动剂 R: 受体 S: 刺激性 i: 抑制性

定 AC 的活性水平。

### (三) G 蛋白亚基不分离模型

Codina 表明  $G_s$  和  $G_i$  是以亚基未分离的形式存在的，NaF 和  $Mg^{2+}$  可逆地激活 G 蛋白时无亚基分离<sup>[3]</sup>。 $G_s$  和  $G_i$  作用于 C 上不同部位。亦有其它证据表明 G 蛋白激活时亚基未分离，因而提出亚基不分离模型 (图

4)<sup>[8]</sup>。此模型基于下列假说：①  $G_s$  激活时亚基不分离；②  $G_s$  与 C 有高亲和力， $G_s$  与 C 一直相连；③  $G_s \cdot C$  复合物与 R 相互反应，激动剂在  $G_s \cdot C$  上催化 GTP-GDP 交换；④一个受体能催化多个  $G_s \cdot C$  的激活；⑤  $G_i$  直接抑制 C 或同  $G_s$  结合，以一种非竞争性方式来抑制 C。模型 A：这是  $G_s \cdot G_i$  与 C 反应模型， $G_s$  与

$G_i$  对 C 的作用并不对称,  $G_i$  与 C 产生一个较弱的结合力,  $G_i$  与 C 产生一个较强的结合力。模型 B:  $G_i$  并不与 C 相互反应, 而是  $G_i$  与  $G_s$  相互反应,  $G_i$  与  $G_s$  反应较弱,  $G_s$  与 C 反应较强。A、B 两模型均说明  $G_s$ 、 $G_i$  对 C 的非竞争性。

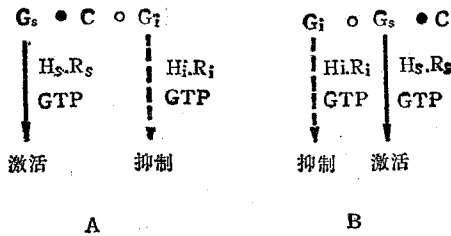


图 4 G 蛋白亚基不分离模型

H: 激动剂 R: 受体 ●表示作用较强  
i: 抑制性 S: 刺激性 ○表示作用较弱

#### (四) G 蛋白 $\alpha$ 亚基的结构和功能模型

##### 1. 鸟苷酸结合区 (binding domain)

已经鉴定了 4 个  $\alpha$  链  $\alpha_s$ 、 $\alpha_o$ 、 $\alpha_{ti}$ 、 $\alpha_{t2}$  的序列, 最近又鉴定了  $\alpha_i$  序列 (小鼠  $\alpha_i$  有 355, 酵母  $\alpha_i$  有 472 个氨基酸)<sup>[4]</sup>。Halliday 指出蛋白质合成过程中的延长因子 EF-Tu 的鸟苷酸结合区的三维结构中, 有四个氨基酸序列突 (stretch), 这四个序列突与 ras 蛋白有极高的同源性, 他把这些区分别称为 A、C、E、G 区, 每一个序列突位于  $\beta$  片层和  $\alpha$  螺旋之间的一个螺圈上, 这一螺圈附近的侧链上的特异氨基酸与 GDP 相互反应。GDP 与鸟苷酸结合区的保守天冬氨酸结合,  $\alpha_{ti}$  第 196 位上的天冬氨酸。EF-Tu 第 8 位 (C 区) 天冬氨酸通过  $Mg^{2+}$  与 GDP 上磷酸基形成一个盐桥, 在 EF-Tu 上第 24 位赖氨酸 (A 区) 也与 GDP 磷酸基结合。 $\alpha_{ti}$  第 268 位天冬氨酸与鸟嘌呤环上的氨基结合, EF-Tu 第 135 位天冬酰胺、第 138 位天冬氨酸 (G 区) 与鸟嘌呤环的酮基、氨基结合。GTP 与 GDP 交换时,  $\alpha_{ti}$  的二个天冬氨酸间的距离增大, 同样, EF-Tu 第 80 位天冬氨酸与第 135、138 位天冬氨酸的距离增大, 增加了 G 蛋白与效应元件的亲和力。

##### P<sup>21</sup> 蛋白 (即 ras 蛋白) 第 12 位甘氨酸 (A

区中央, 在  $\beta$  磷酸基结合部位附近相当于  $\alpha_{ti}$  第 38 位甘氨酸) 的突变, 降低 ras 蛋白的 GTP 酶活性, 但增强其转化能力。P<sup>21</sup> 蛋白另二个突变是: 在 P<sup>21</sup> 蛋白上与 EF-Tu 第 24 位赖氨酸相对应的赖氨酸被天冬氨酸替代, 则促进 GTP 与 GDP 的交换速度; 在 P<sup>21</sup> 蛋白上与 EF-Tu 第 138 位、 $\alpha_{ti}$  第 268 位天冬氨酸相对应的天冬氨酸被丙氨酸代替时, 便降低 P<sup>21</sup> 蛋白对 GTP、GDP 的亲和力, 但升高了刺激酵母 AC 的能力<sup>[5]</sup>。鸟苷酸结合区有一保守 (consensus) 序列。它由三个保守单元 (element): GXXXGK、DXXG、NKXD 构成, 其中 G、K、D、N、X 为氨基酸单个表示符号, G 为甘氨酸, K 为赖氨酸, D 为天冬氨酸, N 为天冬酰氨, X 为其它氨基酸<sup>[6]</sup>。第一、二单元之间的间隔为 40—80 或 130—170 个氨基酸, 第二、三单元之间的间隔为 40—80 个氨基酸, 若 NKXD 被 NKXW (W 为色氨酸) 替代, 则 G 蛋白可利用 ITP 和 GTP<sup>[7]</sup>。

##### 2. $\alpha$ 链上的其它结合区

$\alpha$  链除了鸟苷酸结合区外, 其它部分可分为三区。第 I 区, 包括 GDP 结合区前的  $\alpha$  链 N 末端残基 (在  $\alpha_{ti}$  上是 1—31 残基), 在所有  $\alpha$  链上, 这一区是亲水性的, 有一个  $\alpha$  螺旋结构, 此区涉及到  $\alpha$  链与  $\beta\gamma$  相互反应。用胰蛋白酶切掉  $\alpha_{ti}$  N 端 18 个残基, 则  $\beta\gamma$  不能与  $\alpha_{ti}$  结合, 且  $\alpha_{ti}$  失去了 GTP 酶活性, 百日咳毒素也不能催化第 347 位半胱氨酸的 ADP 糖基化, 因为 GTP 水解和 ADP 糖基化需要  $\beta\gamma$  亚基。但第 I 区不可能含有  $\beta\gamma$  结合的全部部位, 因为五个  $\alpha$  链 N 端序列变异性很大, 而这种变异性与  $\beta\gamma$  的高度保守性不相符合。第 II 区, 此区在  $\alpha_{ti}$  第 50—178 残基之间, 位于鸟苷酸结合区的磷酸基结合处和  $Mg^{2+}$  结合区之间, 它的二级结构包括兼性 (即含有疏水性和亲水性)  $\alpha$  螺旋和  $\beta$  片层, 在所有  $\alpha$  链中,  $\alpha_{ti}$  第 II 区比其它  $\alpha$  链第 II 区长, EF-Tu 的第 II 区有 41 个氨基酸, P<sup>21ras</sup> 蛋白第 II 区有 18 个残基。此区含有  $\alpha$  链与效应元件反应的部位。在 EF-Tu 中, 此区与氨酰 tRNA 反应, P<sup>21ras</sup> 此区突变, 则 ras 蛋白转化和刺激 AC 的能力消失, 认为 GTP 改

变此区构象，使其刺激效应分子。GTP 与  $\alpha$  链结合也改变了  $\alpha$  链与  $\beta\gamma$  的亲和力，导致  $\alpha$  与  $\beta\gamma$  分离， $\alpha$  链与  $\beta\gamma$  的部分结合部位亦在此区。第 III 区，这一区包括  $\alpha$  链远端到鸟苷酸结合部位 ( $\alpha_{11}$  第 271—350 残基之间)，此区二级结构为一个高比例  $\beta$  片层和 C 末端 25 残基的  $\alpha$  融合。此区，特别是最后 21 个氨基酸是 G 蛋白与信号检测元件反应的部位<sup>[5]</sup>。 $\alpha_{11}$ 、 $\alpha_{12}$  第 III 区与视网膜阻遏蛋白 (arrestin) 的一个序列区具有同源性，因而阻遏蛋白与  $G_t$  第 III 区竞争结合视紫红质，阻止  $G_t$  的光激活。另外百日咳毒素使第 III 区的保守半胱氨酸 ADP 糖基化，阻止 G 蛋白与信号检测元件偶联。 $\alpha_{11}$  和  $\alpha_{12}$  第 III 区中与信号检测元件结合的 21 残基有 90% 同源性，光解的视紫红质快速刺激  $\alpha_{11}$  和  $\alpha_{12}$  的 GTP 水解。 $\alpha_s$  第 III 区与  $\alpha_{11}$ 、 $\alpha_{12}$  第 III 区显著不同，因而  $G_s$  很少与视紫红质反应，而较易与  $\beta$  肾上腺素受体反应。

## 二、G 蛋白介导的信号转导系统的相互调节

现在至少已确定了四个信号转导系统：通过磷酸二酯酶控制 cGMP 的视紫红质系统；调节 AC 的两个分支系统；磷酸肌醇系统。每个系统均有 G 蛋白的介入。由信号转导激活的胞内信号不仅调节多种细胞功能，而且调控信号转导系统的活性状态，这些调控可发生于同一转导系统或不同的转导系统，这些调控与 G 蛋白有关，G 蛋白可通过下列方式调节受体-效应分子偶联：① 受体与 G 蛋白反应能力的改变，② G 蛋白结合 GTP 能力的改变，③ G 蛋白作为 GTP 酶活性的改变，④ G 蛋白  $\alpha$  亚基与效应分子反应能力的改变，⑤ 细胞上 G 蛋白数量的改变，⑥ 细胞上 G 蛋白类型的改变。如在一些细胞中，磷酸肌醇代谢增强了激动剂刺激的 cAMP 的形成，这可能由于蛋白激酶 C

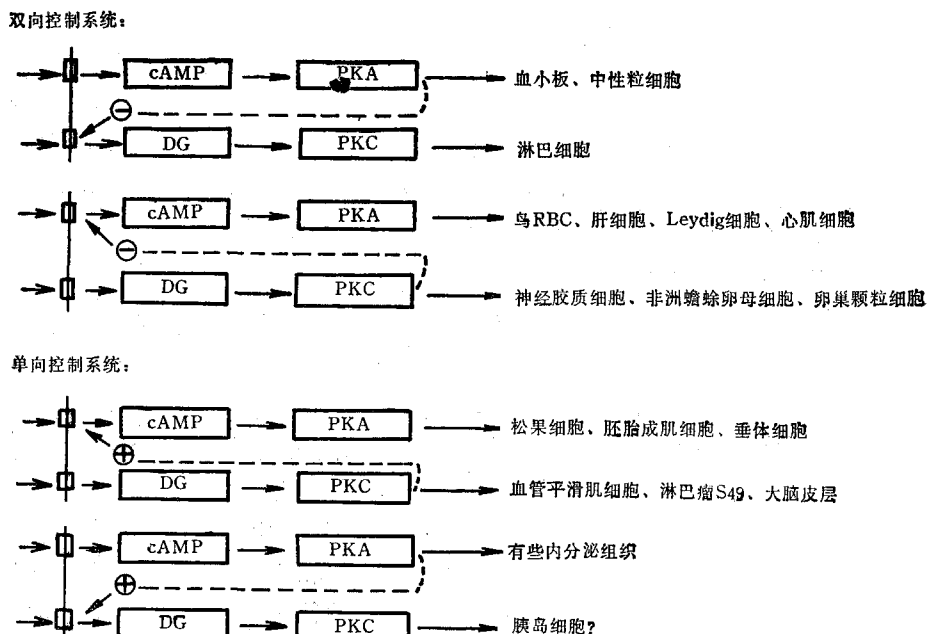


图 5 胰 PKA 和 PKC 的相互作用

PKA：cAMP 依赖性蛋白激酶； PKC：蛋白激酶 C

在双向控制系统中，两类蛋白激酶的调节是相互对抗的，在单向控制系统中，一类蛋白激酶常常促进另一类

(PKC) 使  $G_i$  磷酸化，而在另一些细胞中，磷酸肌醇代谢产生的  $Ca^{2+}$  激活磷酸二酯酶，使

cAMP 浓度下降；同样，cAMP 依赖性蛋白激酶即蛋白激酶 A(PKA) 使血小板膜上  $G_p$  磷

酸化, PKA 与 PKC 的关系如图 5 所示<sup>[8]</sup>。许多资料表明, PKC 可作为甘油二酯 (DG, 是 PKC 的内源激活剂) 形成的负反馈调节蛋白, 因为 PKC 可使 G<sub>p</sub> 磷酸化<sup>[9]</sup>。

有的激动剂, 如胰高血糖素, 有两个受体 GR<sub>1</sub>、GR<sub>2</sub>, 它们分别与不同的 G 蛋白偶联, GR<sub>1</sub> 与 G<sub>p</sub> 偶联, GR<sub>2</sub> 与 G<sub>s</sub> 和 G<sub>i</sub> 偶联, GR<sub>1</sub> 受体刺激磷酸肌醇代谢产生 DG, DG 使 GR<sub>2</sub> 受体脱敏, 可能由于: ① DG 激活 PKC, PKC 使 GR<sub>2</sub> 磷酸化或使 G<sub>s</sub> 磷酸化, 致 GR<sub>2</sub> 或 G<sub>s</sub> 脱偶联; ② G<sub>i</sub> 磷酸化激活 (与 G<sub>s</sub> 磷酸化作用相反) 后, 间接抑制了 GR<sub>2</sub> 或 G<sub>s</sub> 对 AC 的刺激 (图 6)<sup>[10]</sup>。

总之, G 蛋白介导的信号转导途径相互调节机制如下: ① G 蛋白通过  $\beta\gamma$  亚基进行 G 蛋白之间的交流; ② PKC 使 AC、G 蛋白、受体等磷酸化; ③ 受体激酶使 G 蛋白磷酸化; ④ 受

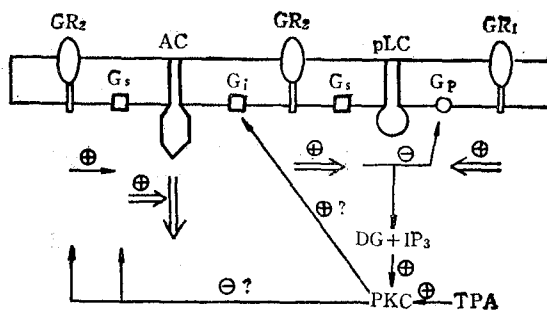


图 6 胰高血糖素的 GR<sub>1</sub> 和 GR<sub>2</sub> 受体与不同的信号转导系统偶联

TPA: 佛波脂; PKC: 蛋白激酶 C; + 表示刺激;  
- 表示抑制; DG: 甘油二酯; IP<sub>3</sub>: 三磷酸肌醇;  
GR<sub>1</sub>, GR<sub>2</sub> 为胰高血糖素受体

体之间如胰岛素和胰岛素样因子间的交叉活性 (图 7)<sup>[11]</sup>。G 蛋白还有其它作用。如 G 蛋白参与 IL-2<sup>[12]</sup> 和 T 细胞抗原受体<sup>[13,15]</sup>的信号转导。G 蛋白在疾病中亦有应用, 如在 I 型糖尿病中 G<sub>i</sub> 活性消失<sup>[14]</sup>。

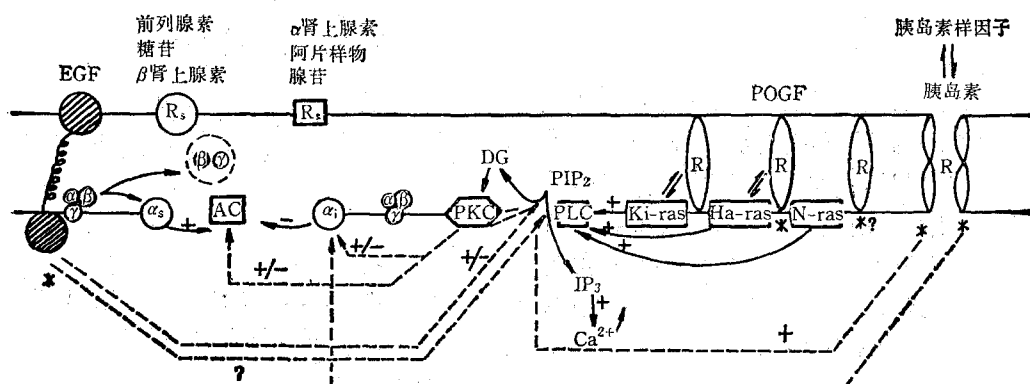


图 7 G 蛋白介导的信号转导途径相互调节

\* 为受体酪氨酸激酶, ?: 表示不确定, R: 受体 AC: 腺苷环化酶, PKC: 蛋白激酶 C, PLC: 磷脂酶 C,  
DG: 甘油二酯, PIP<sub>2</sub>: 二磷酸磷脂酰肌醇, PDGF: 血小板衍生的生长因子, EGF: 表皮生长因子, IP<sub>3</sub>:  
三磷酸肌醇 然而也有资料报道胰岛素受体的酪氨酸激酶不能使 G<sub>i</sub>、G<sub>o</sub>、P<sup>21</sup> 蛋白磷酸化<sup>[13]</sup>

## 参 考 文 献

- [1] Dalphin, A. C.: *TINS*, 1987, 10, 53.
- [2] Levitzki, A.: *FEBS Lett.*, 1987, 211, 113.
- [3] Codina, J. et al.: *J. Biol. Chem.*, 1984, 259, 11408.
- [4] Nakafuku, M. et al.: *PNAS*, 1987, 84, 2140.
- [5] Bourne, H. R. et al.: *Biochem. Soci. Trans.*, 1987, 15, 35.
- [6] 周宝宏: 《国外医学-分子生物学分册》, 1987, 9, 282.
- [7] Dever, T. E. et al.: *PNAS*, 1987, 84, 1814.
- [8] Nishizuka, Y. et al.: *Science*, 1986, 233, 305.

- [9] Bauer, S. et al.: *Biochem. Soci. Trans.*, 1987, 15, 24.
- [10] Fosslay, M. D. et al.: *Biochem. Soci. Trans.*, 1987, 15, 21.
- [11] Pennington, S. R.: *Nature*, 1987, 327, 188.
- [12] Francisco, S.: *Nature*, 1987, 326, 833.
- [13] Mustelin, T.: *FEBS Lett.*, 1987, 213, 199.
- [14] Gawler, D. et al.: *Nature*, 1987, 327, 229.
- [15] 周宝宏: 《国外医学-分子生物学分册》, 1988, 10(3), 101。

【本文于1988年4月14日收到】